

622.341.1-185:620.186:548.73

S 16

(16)

焼結鉱中の各種鉱物の組成と腐食像について

70292

八幡製鉄(株)東京研究所 理博 近藤 真一

○佐々木 稔・中沢 孝夫・榎戸 恒夫・浜田 広樹

1. 緒 言 : 焼結鉱中の鉱物は、多種の少量成分を含むので、純粹なものとは異なる腐食像を示す可能性がある。本研究においては、XMAによって各種鉱物の組成を決定し、さらにいろいろな条件下での腐食像を検討した。

2. 実験方法 : 試料の切断ならびに粗研磨は、灯油を用いて行ない、仕上げ研磨はダイヤモンドペーストを使用した。腐食試験は各粒子につき、つきの条件で順に行なった。1)水、常温、60秒、2)塩酸1部に水10部、常温、30秒、3)塩酸1部に水4部、常温、60秒、4)塩酸1部に水1部、常温、60秒、5)塩酸1部に水1部、60°C、60秒。

3. 実験結果 : 硅酸塩鉱物については、まず、dicalcium silicateは条件1で選択的に腐食され周囲のsilicate glassと区別される。つぎに、条件2ではsilicate glassがetching outされるのに対し、meliliteはそのまま残るので両者は判別される。ただし、高塩基度焼結鉱において、酸化鉄、

表1 各種鉱物のXMA分析結果(酸化物への換算値、%)

被分析相	CaO	FeO	MgO	Al <sub>2</sub> O <sub>3</sub>	SiO <sub>2</sub>	計
Dicalcium silicate	52.6	7.8	1.6	n.d.	33.2	95.2
Melilite	35.7	19.9***	n.d.	21.2	22.0	98.8
Silicate glass	39.1	15.8	n.d.	6.4	35.2	96.5
Slag matrix(b=2以上)	40.6	39.7	n.d.	1.3	9.8	91.4
Wustite	0.6	95.8	2.3	n.d.	n.d.	98.2
Magnetite	2.7	93.8***	2.4	0.7	n.d.	99.6

※ as Fe<sub>2</sub>O<sub>3</sub>, \*\*\* as Fe<sub>3</sub>O<sub>4</sub>

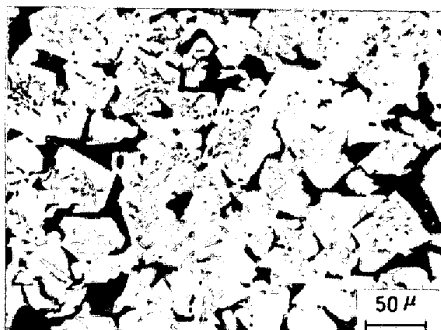
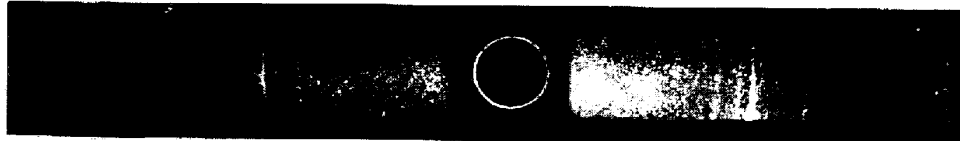


写真1. Wustite粒子の腐食像

hemicalcium ferriteならびに珪酸塩から構成される slag matrix は、条件2では部分的に腐食されるだけであり、条件3で始めて etching out される。

酸化鉄鉱物は、まず、wustite が少量の CaO, MgO を含んでいて、条件3で写真1に示すような腐食像を示す。Magnetite は、CaO, MgO だけでなく Al<sub>2</sub>O<sub>3</sub>, MnO, TiO<sub>2</sub> を含む多成分系となっているもののがかなり多く、条件5でいわゆる "calciferous magnetite" の腐食模様を呈する。

Calcium ferrite はすでに報告した<sup>1)</sup>ごとく、単体粒子としては hemi-だけと考えられるが、顕微鏡下で抽出した約 20 μg の長柱状粒子を粉末法によってX線回折分析した結果でもやはり hemi-であることが推定される(写真2、表2参照)。Hemicalcium ferrite粒子は、条件5によって内包する C, WF<sub>6</sub> の溶失にもとづく腐食溝を生ずるが、Al<sub>2</sub>O<sub>3</sub> 分の多い粒子ならびに单一相粒子は腐食がほとんど進まない。



Target: Cr, Filter: V, 30KV, 30mA, カメラ径: 114.6 φ, 2時間露出

写真2. 抽出した長柱状 calcium ferrite粒子のX線粉末写真

1) 佐々木、中沢: 鉄と鋼, 54(1968)p. 1217ならびに p. 1504

d(Å)	I	d(Å)	I
3.19	w	2.59	v S
3.01	m	2.13	S
3.00	w	1.64	m
2.95	w	1.52	S
2.84	w	1.51	S
2.76	m	1.48	w
2.68	w	:	: